

I-177 ケーブル・スティード・タワーに関する基礎的研究

名古屋大学・工学部 正員 福本勝士
 川崎製鉄・鋼構造研究所 ○正員 三好弘高
 日本道路公団 正員 小林和正

考え方 吊橋のタワーにはいろいろな形式があるが、長大吊橋タワーには、一般に下端が固定され、上端がケーブルで拘束された形式のものが多い。こうしたタワーの崩壊形式を考えると、断面性能その他のにより、(1)柱と1つの変形が支配的な場合と、(2)タワーを構成する板の局部的変形が支配的な場合とに分けられる。さらに荷重の種類も、活荷重、温度変化、風荷重、地震荷重などがあり、それらの組み合わせも多種にのぼる。

本研究は、基礎的研究的目的より在たり、まず主要要素である活荷重や温度変化を取り上げ、これら的作用により、タワーが死荷重のみでつり合った位置から、ケーブル張力の水平分力の変化に基づいて、柱と1つで水平方向に変形する上述の崩壊形式(1)について考察を行おうとする。まずわち、タワーに対する主ケーブルの拘束力と塔頂水平変位とは近似的に比例するものと仮定し、ケーブル拘束の効果を塔頂水平変位に対する弾性ばね(ばね定数をとする)で置換したうえで、荷重一変形性状や耐荷力についてBeam-Columnの弾塑性解析的立場から基礎的を考察を加之す。

解析 1. に述べた理由から、解析の対象としてFig. 1. のモデルを選定する。実在タワーの断面は、箱形多室断面が多用されるが、こゝでは簡単のためH形および箱形断面を有する変断面柱を取り扱うことにしておきたい。まず、解析における主な仮定としては、(i)タワーの鉛直変位は水平変位に比べて非常に小さい。(ii)せん断力の影響は無視しうる。(iii)曲率半径 $\rho \neq \infty$ と考える。(iv)材料は理想的弾塑性体とする。さてである。つぎに、計算法としては、(a)鉛直力Pが一定の場合と、(b)Pが水平力Fと比例関係を保ちながら漸増する場合とで異なってくる。まず、(a)の場合は、柱を子軸方向(Fig. 1.)に分割して差分法を用い、非弹性域においては、増分法により、変位を微小に増加させて、タワー各断面の塑性域の拡かりおよび剛性の低下率を求めながら荷重一変形関係や変形性状を追跡した。つぎに(b)の場合は、簡便化のため、上記計算法(a)によって求められる種々のPに対するF-曲线群から(△は塔頂水平変位)、△をパラメータとしてPとFの相関曲線を作成し、任意のP/Fに対する

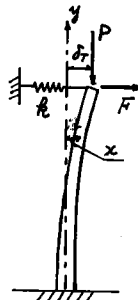
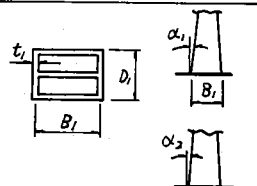


Fig. 1.

Table 1.

$R = 117.93 \text{ m}$
$D_1 = 275 \text{ cm}$
$B_1 = 460 \text{ cm}$
$a_1 = 0.0$
$a_2 = 0.00273$
$E = 2.1 \times 10^6 \text{ kg/cm}^2$
$G_y = 3000 \text{ kg/cm}^2$
$\alpha = 20$



n	$t_1 (\text{cm})$	$t_2 (\text{cm})$
1~6	4.1	4.1
7~9	3.8	3.8
10~12	3.5	3.5
13~15	3.2	3.2
16~20	2.8	2.8

t_1 : タワーの高さ
 D_1 : 墓碑面と直角方向
 基部断面の幅
 B_1 : 墓碑面と直角基部断面の両端
 部材寸法
 t_2 : 各断面における墓碑面と直角部材の板厚の和

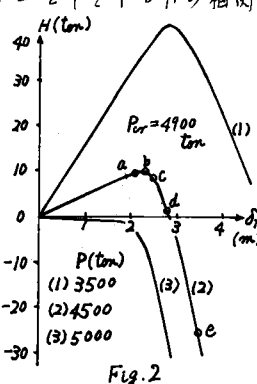


Fig. 2

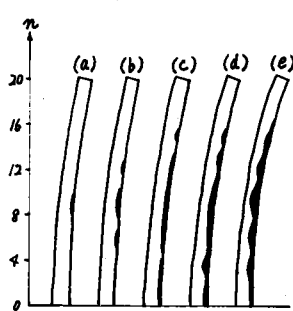


Fig. 3

る P - H - δ 曲線を求める。ところで、一般に長大吊橋タワーにおける鉛直力は、死荷重成分が支配的で、 P を一定として計算することが多く、近似的には計算法(a)で充分であろう。

計算法(a)の一例を示せば以下のようであり、使用データの主なものと Table. 1. に示す。これはセバーン橋主塔のデータに基づいたものであるが、計算の簡便化のため、補剛材等は無視し、部材の板厚をセバーン橋主塔の板厚の約 2 倍としている。Fig. 2. は P を一定としたときの相対水平力 H と δ の関係を示す。この H が塔頂に作用する真の水平荷重であり、 $H = H + R \cdot \delta$ の関係がある。Por はタワーが下端固定で上端自由とその弹性座屈荷重を意味する。Fig. 3. は Fig. 2 における曲線②の主な点に対する変形性状と塑性域の拡かりを示す。この例は、 P が大きくなるにつれて H が(だいぶ)減少する(角の方向に増加する)こと、変断面柱であることに基づいて、タワー中央付近の剛性の低下が著しくなることを示している。また、角が与えられれば H と δ の関係をも知ることができると、 δ 値に関する適切な報告はあまりみあたらぬようである。

実験と考察 ケーブルで上端を拘束され、下端固定のタワーの挙動を Fig. 4 のような形式で実験的に考察し、かつ数値計算による比較検討を行なった。まず、供試体にはウェブ高一定でフランジ幅が直線変化する高さ 1.5 m の密接 H 形変断面柱を用い、ケーブルにはパラレルワイヤーストランドを使用した。また、柱の変位は、リキシスフリューを使って与え、引張ジャッキにより、ケーブルを通じて柱の弱軸回りの曲げモーメントと中心圧縮力が作用するように載荷した。

この実験よりえた変形性状の一例を Fig. 5. に示す。Fig. 6 は P - H - δ 関係を示したものである。(実線は計算値、最高荷重時は *印、図中の番号は Fig. 5. の番号に対応する。) さらに最高荷重時の状態を Photo. 1. に示す。以上より、 P が大きくなり、 H が δ と逆方向に大きくなるにつれてモーメント最大の点が柱の基部から上方へ移動し、最後に P と H の合力に対して不安定状態に達して崩壊に至るものと思われる。

ついで、 P - H - δ 関係について数値計算との比較検討を行なう。実験結果より、リキシスフリュー一側ケーブルの水平分力 T_1 と δ (T_1/δ が R に相当する) および P と δ が近似的に比例関係にあることが分かったので、この P/R や δ を用い、2. で述べた計算法(b)により実験結果に対する理論解を Fig. 6. の実線のように求めることができる。

あとがき 本報告では、タワーに関する基礎的な考察を行ない、その数例を紹介したが、実在タワーの挙動をより正確に把握するためには、実際のタワーと同じ断面形状を有する柱の厳密な解析や、大型モデルの実験など多くの課題がある。なお、本研究は日本鉄道建設公団の名古屋大学への委託研究の一部として行なったものであり、関係各位に深く感謝します。

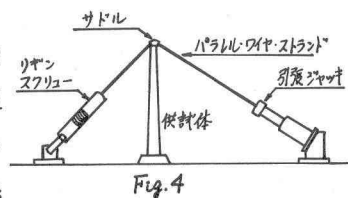


Fig. 4

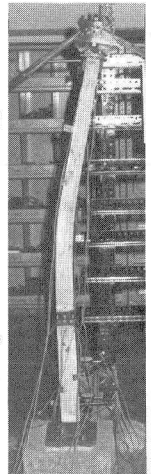


Photo. 1.

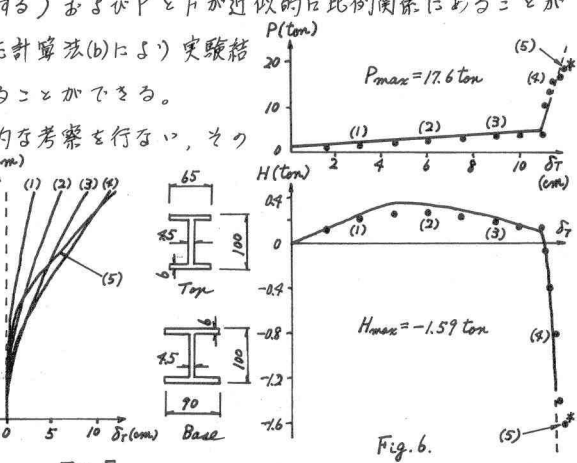


Fig. 5